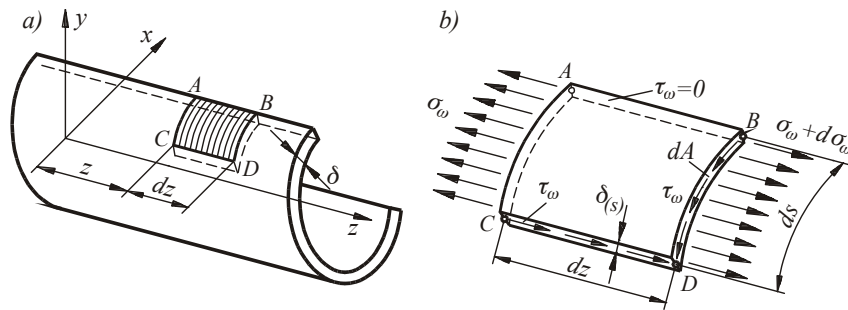


3.10.6 Tangencijalni naponi usled ograničenog uvijanja

Konačno, preostalo je da se definisu tangencijalni naponi kod ograničenog uvijanja τ_ω koji se javljaju zbog promene normalnih napona σ_ω po dužini tlapa (Sl. 3.78), usled promene bimomenta.

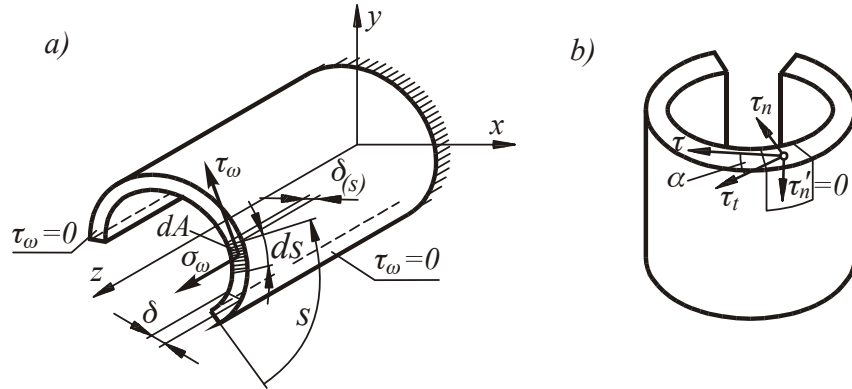


Sl. 3.78

Elementarni deli ABCD pripadaju od bočne ivice konture ($s=0$), jer je na njoj tangencijalni napon $\tau_\omega = 0$ (nema nikakvih sila duž ivice), tako da je u nekoj takoj konturi određenoj koordinatom "s" vrednost napona τ_ω apsolutna. Dakle, pri određivanju tangencijalnih napona, koordinata "s" polazi uvek od slobodne ivice konture.

Prepostavljajući da vektor ukupnog tangencijalnog napona τ u posmatranoj takoj deluje pod nekim uglom α u odnosu na konturu (Sl. 3.79.b), njegove komponente bi bile: $\tau_n = \tau \sin \alpha$ i $\tau_t = \tau \cos \alpha$.

Na osnovu osobine konjugovanosti tangencijalnih napona, sledi da je: $\tau_n = \tau'_n$,



Sl. 3.79

Kako na bo~nim povr{inama elementa nema nikakvih povr{inskih sila, bi}e $\tau'_n = 0$, to jest bi}e:

$$\tau_n = \tau'_n = 0 = \tau \sin \alpha \rightarrow \sin \alpha = 0, \alpha = 0,$$

pa je

$$\tau_t = \tau.$$

Prema tome, pravac ukupnog tangencijalnog napona poklapa se sa tangentom konture u posmatranoj ta~ki popre~nog preseka. Za usvojene smerove napona prema (Sl. 3.78), a na osnovu ravnote`e sila u pravcu ose Oz , bi}e:

$$(\sigma_\omega + d\sigma_\omega - \sigma_\omega) dA + \tau_\omega \delta(s) dz = 0,$$

$$d\sigma_\omega dA = -\tau_\omega \delta(s) dz.$$

Apriori pretpostavljeni smer konjugovanog napona τ_ω u ravni konture (od B do D) je u smeru sa porastom teku}e koordinate "s" (Sl. 3.78.b), mada }e se njegov pravi smer utvrditi kasnije.

Prira{taj normalnog napona $d\sigma_\omega$ je samo u pravcu ose Oz , tako da se normalna sila menja samo sa pove}anjem povr{ine konture pre|ene sa koordinatom "s". Debljina konture δ smatra se konstantnom na delu integraljenja ($dA=\delta \cdot ds$), tako da za odse~ak konture ~ija je povr{ina $f=\delta s$, tangencijalni napon iznosi:

$$\tau_\omega = -\frac{1}{\delta(s)} \int_f \frac{d\sigma_\omega}{dz} dA, \quad \text{a kako je } \sigma_\omega = -E \omega \frac{d\theta}{dz},$$

$$\text{bi}e \quad \tau_\omega = \frac{1}{\delta(s)} \int_f E \frac{d^2\theta}{dz^2} \omega dA = \frac{E}{\delta(s)} \frac{d^2\theta}{dz^2} \int_f \omega dA,$$

odnosno:

$$\tau_\omega = \frac{E}{\delta(s)} \frac{d^2\theta}{dz^2} S_\omega^{ots}. \quad (3.205)$$

Ako se izvr{i integraljenje momenta elementarne tangencijalne sile u odnosu na centar uvijanja (po celoj povr{ini konture A), dobi}e se moment ograni~enog uvijanja M_ω , (Sl. 3.80).

Sl. 3.80

$$\begin{aligned} M_{\omega} &= \int_A \tau_{\omega} r dA , \\ M_{\omega} &= \int_A \left(\frac{E}{\delta} \frac{d^2 \theta}{dz^2} \int_f \omega dA \right) \delta \cdot r ds , \\ M_{\omega} &= E \frac{d^2 \theta}{dz^2} \int_A \left(\int_f \omega dA \right) d\omega . \end{aligned}$$

Parcijalnim integraljenjem, gde su:

$$u = \int_f \omega dA, \quad du = \omega dA, \quad dv = d\omega, \quad v = \omega,$$

dobija se

$$\int_A \left(\int_f \omega dA \right) d\omega = \omega \int_f \omega dA \Big|_{f=0}^{f=A} - \int_A \omega^2 dA = -I_{\omega}.$$

Prvi integral u gornjem izrazu je sektorski statiski moment glavne sektorske koordinate. On je jednak nuli, kada je segmentna površina konture $f = 0$, kao i kada je obuhvaćena celu konturu $f = A$, tako da konačan izraz za moment ograničenog uvijanja glasi:

$$M_{\omega} = -EI_{\omega} \frac{d^2 \theta}{dz^2}. \quad (3.206)$$

Zamenom (3.206) u (3.205), dobija se izraz za tangencijalni napon usled ograničenog uvijanja na mestu odsečka konture određenog koordinatom "s":

$$\tau_{\omega}^s = - \frac{M_{\omega} \cdot S_{\omega}^{ots}}{I_{\omega} \cdot \delta(s)}, \quad (3.207)$$

gde je $\delta(s)$ – debљina konture na mestu odsečka određenog koordinatom "s".

Smer toka tangencijalnih napona τ_{ω} zavisi od znakova za M_{ω} i S_{ω} saglasno već usvojenim konvencijama.

Ako se kao rezultujući znak na desnoj strani izraza (3.207) dobije (+), onda je smer toka napona u smjeru "s", a ako je rezultujući znak (-), onda je smer toka napona suprotan od smera "s".

Obilazak po konturi sa koordinatom "s" uvek se započinje od slobodnih ivica konture, a to je već prethodno obrazloženo.

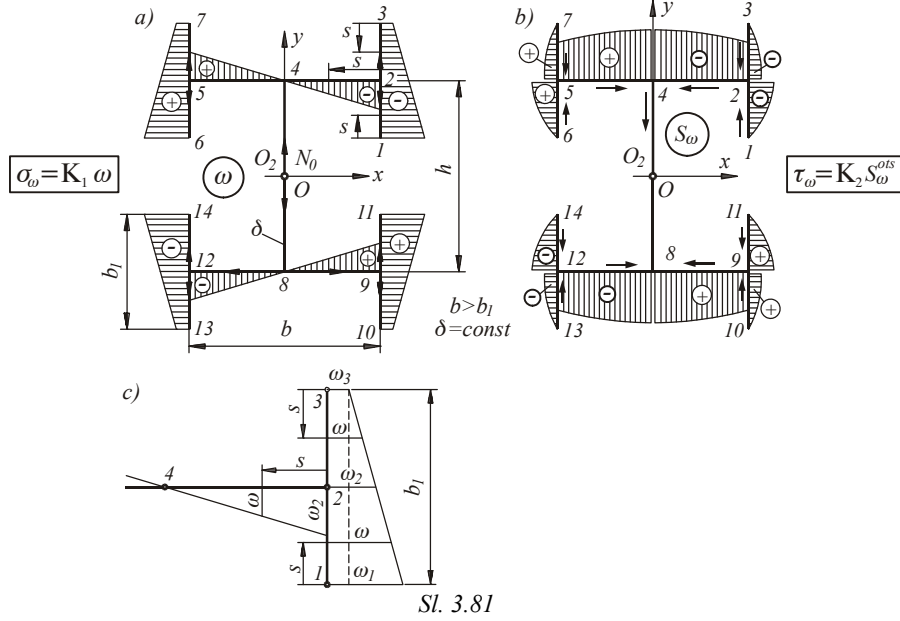
Promena tangencijalnih napona τ_{ω} , za $\delta = \text{const}$ duže cele konture, direktno je proporcionalna sektorskemu statiskom momentu:

$$S_{\omega}^{ots} = \int_f \omega dA .$$

Ako kontura u nekim svojim delovima ima trenutnu promenu debljine, napon je se obrnuto proporcionalno promeni debljine skokovito menjati.

Integralne postepeno po odsečima konture (simbol "f") glavnu sektorskiju koordinatu, dobiće se promena sektorskog statičkog momenta po konturi. Vrednost odsečka sektorskog statičkog momenta u posmatranoj tački konture, numerički je jednaka površini dijagrama glavne sektorske koordinate na dužini odsečka.

Za praktičnu ilustraciju postupka, usvojiće se kontura kao na (Sl. 3.81.a), kod koje se apriori zna položaj centra savijanja O_2 . Pošto se zna i položaj glavne nulte tačke N_0 , formira se odmah glavna sektorska koordinata ω (Sl. 3.81.a).



Vrednosti sektorske koordinate u numerisanim tačkama konture iznose:

$$\omega_1 = -\frac{hb}{4} - \frac{b_L b}{4} = \omega_{14}, \quad \omega_6 = \omega_{11} = -\omega_1 ,$$

$$\omega_2 = -\frac{hb}{4} = \omega_{12}, \quad \omega_5 = \omega_9 = -\omega_2 ,$$

$$\omega_3 = -\frac{hb}{4} + \frac{b_L b}{4} = \omega_{13}, \quad \omega_7 = \omega_{10} = -\omega_3 .$$

Promena koordinate ω u zavisnosti od "s" (koja polazi od ta~ke 1 (Sl.3.81.c)) iznosi:

$$\omega = (\omega_I - \omega_3) \frac{b_I - s}{b_I} + \omega_3 = \omega_I - (\omega_I - \omega_3) \frac{s}{b_I},$$

$dA = \delta \cdot ds$, $\delta = \text{const.}$ du~ cele konture.

Sektorski stati~ki moment konture na odse~ku 1 ÷ 2 iznosi:

$$S_{\omega}^{1+2} = \delta \int_0^{\frac{b_I}{2}} \omega ds = \delta \int_0^{\frac{b_I}{2}} \left[\omega_I - (\omega_I - \omega_3) \frac{s}{b_I} \right] ds = \delta \left[s\omega_I - (\omega_I - \omega_3) \frac{s^2}{2b_I} \right]_0^{\frac{b_I}{2}},$$

$$S_{\omega}^{(1)} = 0, \quad S_{\omega}^{(2)} = -\delta \left(\frac{hb}{2} + \frac{b_I b}{4} \right) \frac{b_I}{4}.$$

Dakle, numeri~ka vrednost $S_{\omega}^{(2)}$ jednaka je povr{ini dijagrama ω na delu od 1 do 2, odnosno:

$$S_{\omega}^{(2)} = (\omega_I + \omega_2) \frac{b_I}{4}.$$

Kako se kontura u ta~ki 2 ra~va, treba izvr{iti integraljenje sektorske koordinate dela konture od 3 ÷ 2. Sada "s" polazi od ta~ke 3 (Sl. 3.81.c), tako da je:

$$S_{\omega}^{3+2} = \delta \int_0^{\frac{b_I}{2}} \left[(\omega_I - \omega_3) \frac{s}{b_I} + \omega_3 \right] ds = \delta \left[(\omega_I - \omega_3) \frac{s^2}{2b_I} + s\omega_3 \right]_0^{\frac{b_I}{2}},$$

$$S_{\omega}^{(3)} = 0, \quad S_{\omega}^{(2)} = \delta \left(-\frac{hb}{2} + \frac{b_I b}{4} \right) \frac{b_I}{4}.$$

Za deo konture od ta~ke 2 do ta~ke 4 bi}e:

$$S_{\omega}^{2+4} = S_{\omega}^{1+2} + S_{\omega}^{3+2} + \delta \int_0^{\frac{b}{2}} \omega_2 \left(1 - \frac{2s}{b} \right) ds,$$

$$S_{\omega}^{2+4} = -\delta \frac{hbb_I}{4} + \delta \left[\omega_2 \left(s - \frac{s^2}{b} \right) \right]_0^{\frac{b}{2}},$$

$$S_{\omega}^{(2)} = -\delta \frac{hbb_I}{4}, \quad S_{\omega}^{(4)} = -\delta \left(\frac{hbb_I}{4} + \frac{hb^2}{16} \right).$$

Sada se ponavlja postupak na levom delu konture, gde se integrale pozitivne vrednosti glavne sektorske koordinate, tako da se dobija:

$$S_{\omega,lev}^{(4)} = +\delta \left(\frac{hbb_I}{4} + \frac{hb^2}{16} \right).$$

Prelazeći na rebro profila, izvrši se sabiranje sektorskih statiskih momenata levog i desnog dela pojasa:

$$S_{\omega}^{4+8} = S_{\omega,lev}^{(4)} + S_{\omega,desno}^{(4)} + \delta \int_0^h \omega ds = 0 ,$$

jer je i sektorska koordinata na delu (4 ÷ 8) jednaka nuli.

S obzirom da na rebru profila nema napona od ograničenog uvijanja ($\sigma_{\omega}^{4+8} = 0$, $\tau_{\omega}^{4+8} = 0$), zaključuje se da rebro nema deplanaciju ($w = -\theta \cdot \omega = 0$).

Najveće deplanacije preseka, a samim tim i najveći normalni naponi σ_{ω} , javljaju se u ivišnim vlaknima pojasnih delova (tako 1, 6, 11, 14), dok se najveći tangencijalni napon ograničenog uvijanja τ_{ω} javlja u presecima pojasne konture blisko levo ili blisko desno od taka 4 i 8. Promena napona σ_{ω} i τ_{ω} proporcionalna je promenama "ω" i "Sω" po konturi i prikazana je na (Sl.3.81.b), jer je:

$$\sigma_{\omega} = \frac{B}{I_{\omega}} \cdot \omega = K_1 \cdot \omega , \quad \tau_{\omega} = -\frac{M_{\omega}}{I_{\omega} \cdot \delta_{const}} \cdot S_{\omega}^{ots} = K_2 \cdot S_{\omega}^{ots} .$$